

УДК 524.882

СРАВНЕНИЕ ПРОСТРАНСТВЕННЫХ СВОЙСТВ ВХОДОВ В ЧЕРНЫЕ ДЫРЫ И КРотовЫЕ НОРЫ

© 2021 г. И. Д. Новиков^{1,2,3}, С. В. Репин^{1,*}

¹ Физический институт им. П.Н. Лебедева РАН, Астрокосмический центр, Москва, Россия

² The Niels Bohr International Academy, The Niels Bohr Institute, Copenhagen, Denmark

³ Национальный исследовательский центр “Курчатовский институт”, Москва, Россия

*E-mail: repinsv@lebedev.ru

Поступила в редакцию 30.06.2020 г.

После доработки 30.08.2020 г.

Принята к публикации 30.08.2020 г.

Проведено сравнение пространственных свойств входов в сферически-симметричные черные дыры, кротовые норы с нулевой и положительной массами. Свойства изучались с точки зрения балка и браны. Найдены конкретные выражения для входов и показано, что в обоих представлениях пространственные воронки входов в кротовые норы наиболее крутые у Шварцшильдовских черных дыр, и наименее крутые у кротовых нор с нулевой массой.

DOI: 10.31857/S0004629920330026

1. ВВЕДЕНИЕ

Целью настоящей работы является выяснение отличий между геометрическими пространственными свойствами окрестности различных релятивистских объектов в рамках общей теории относительности (ОТО). Следует подчеркнуть, что эти отличия не ведут прямо к различию в видимости этих объектов внешним наблюдателем. Дело в том, что различие в видимости связано не только с различием пространственных свойств этих объектов, но, в еще большей степени, с различием в траекториях лучей света в различных гравитационных полях вокруг этих тел. Мы исследуем эти вопросы в наших других работах (см., напр., [1–4]). Они разбираются также в многочисленных работах других авторов (см., напр., [5–8]). Тем не менее отличия пространственных свойств важны по следующим причинам: 1) для анализа физических процессов вблизи входов; 2) в релятивистской теории так же, как в нерелятивистской теории, свойства процессов зависят от геометрических свойств отверстий, в которые происходит течение; 3) с точки зрения принципиальной возможности отличить эти объекты друг от друга чисто геометрическим путем, не привлекая для этого гравитацию, свет и другие процессы. Полученные отличия можно будет в будущем использовать как дополнительные критерии в наблюдательных проявлениях этих объектов.

Все расчеты в статье выполнены при $G = 1$, $c = 1$.

2. ОБЪЕКТЫ В ГИПЕРПРОСТРАНСТВЕ (БАЛКЕ)

В этом разделе мы рассмотрим релятивистские объекты в гиперпространстве.

Рассмотрим сферически-симметричные черные дыры (ЧД). Определим форму поверхности вращения в трехмерном балке, внутренняя геометрия которой в бране (в нашей Вселенной) совпадает с двумерной геометрией экваториальной “плоскости” ЧД. Определение и описание терминов “балк” и “брана” даны работе [6]. Как показано в [9], эта поверхность вращения в цилиндрических координатах (r, φ, z) в балке есть

$$z_S = 2\sqrt{r_g(r - r_g)}, \quad (1)$$

где $r_g = 2m$ – гравитационный радиус. Она соответствует двумерной метрике экваториального сечения ЧД. В полярных координатах в бране (в нашей Вселенной)

$$dl^2 = \left(1 - \frac{r_g}{r}\right)^{-1} dr^2 + r^2 d\varphi^2. \quad (2)$$

Найдем теперь аналогичную форму поверхности для кротовой норы (КН) Эллиса–Бронникова–Морриса–Торна [10–13]. Эта модель КН наиболее часто используется в теоретической астрофизике. Ее метрика в двумерной бране есть

$$dl^2 = d\rho^2 + (\rho^2 + q^2)d\varphi^2, \quad (3)$$

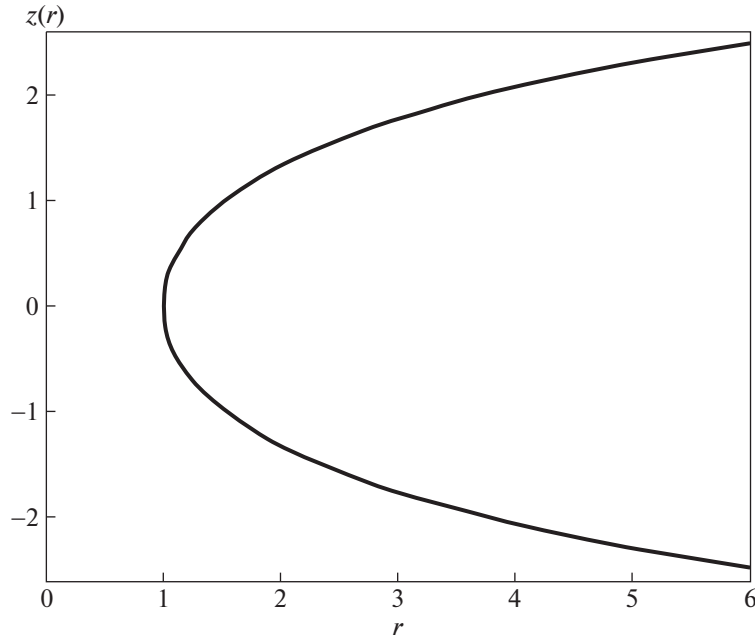


Рис. 1. Поверхность вращения для кротовой норы Морриса–Торна.

где $-\infty < r < \infty$, q – радиус горловины, или в нужной для нас форме

$$dl^2 = \frac{r^2}{r^2 - q^2} dr^2 + r^2 d\varphi^2. \quad (4)$$

Для поверхности вращения в балке в цилиндрических координатах имеем:

$$\begin{aligned} dl^2 &= dr^2 + dz^2 + r^2 d\varphi^2 = \\ &= dr^2 \left(1 + \left(\frac{dz}{dr} \right)^2 \right) + r^2 d\varphi^2. \end{aligned} \quad (5)$$

Сравнивая (4) и (5), получаем дифференциальное уравнение

$$1 + \left(\frac{dz}{dr} \right)^2 = \frac{r^2}{r^2 - q^2} \quad (6)$$

или

$$\frac{dz}{dr} = \pm \sqrt{\frac{r^2}{r^2 - q^2} - 1}. \quad (7)$$

Решение его есть:

$$z_{\text{Th}} = \pm q \ln \left(r + \sqrt{r^2 - q^2} \right) + z_0. \quad (8)$$

Полагая $z_0 = 0$, получаем выражение для верхней и нижней половины поверхностей вращения, каждая из которых соответствует своему выходу из кротовой норы (см. рис. 1).

Напомним, что в метрике КН_{Th} нигде нет гравитационных ускорений, в том числе и вне выхо-

дов из КН_{Th} . Это означает, в частности, что эквивалентная масса каждого из входов равна нулю, $m = 0$.

Сравним входы в ЧД и КН_{Th} . Они описываются поверхностями, получающимися при вращении вокруг $z = 0$ кривых z_{S} (1) и z_{Th} (8). Обе поверхности стремятся стать горизонтальными при $r \rightarrow \infty$. Однако при любом конечном r они отличаются от плоскости, а геометрия на них – от евклидовой. Степень отличия при данном r может быть охарактеризована отличием разности dl длин двух близких окружностей $r_1 = \text{const}$ и $r_2 = \text{const}$ от $2\pi dr$, где $r_2 = r_1 + dr$,

$$\frac{dl}{dr} = \frac{2\pi}{\sqrt{g_{11}}}, \quad (9)$$

где g_{11} – метрический коэффициент соответствующих метрик. Для нашего случая

$$(g_{11})_{\text{S}} = \left(1 - \frac{r_g}{r} \right)^{-1}, \quad (10)$$

$$(g_{11})_{\text{Th}} = \frac{r^2}{r^2 - q^2}. \quad (11)$$

При $r \rightarrow \infty$ имеем, соответственно

$$(g_{11})_{\text{S}} = 1 + \frac{r_g}{r}, \quad (12)$$

$$(g_{11})_{\text{Th}} = 1 + \frac{q^2}{r^2}. \quad (13)$$

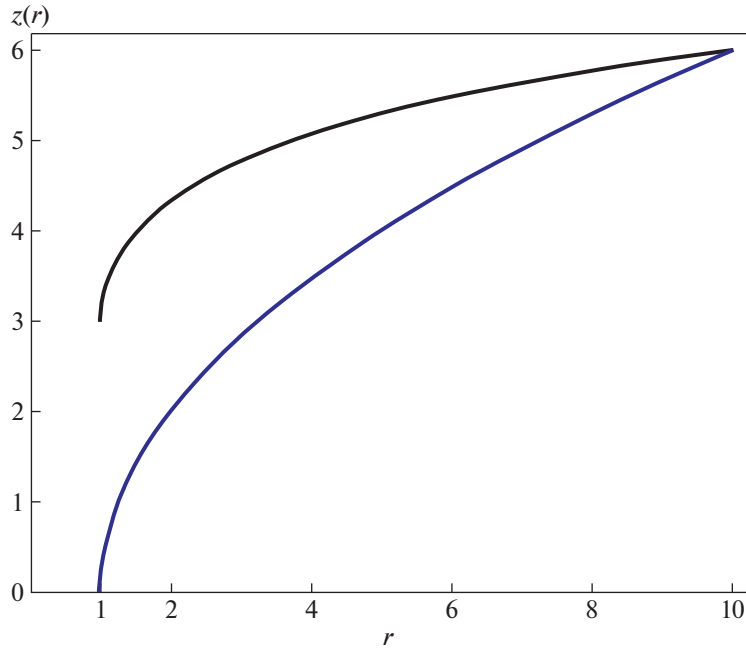


Рис. 2. Поверхность вращения для кротовой норы Морриса–Торна (верхняя кривая) и ЧД (нижняя кривая).

Будем считать “дном” пространственной воронки, которую мы исследуем, $r = r_g$ для ЧД и $r = q$ для КН. Обе кривые (1) и (8) стремятся к $z \rightarrow \infty$, когда $r \rightarrow \infty$. Однако мы можем считать нашу брану практически плоской для достаточно больших r , когда (12), (13) достаточно малы. При $r_g = q$ определяющим условием малости является малость

$$\frac{r_g}{r} \equiv \alpha \ll 1. \tag{14}$$

Для достаточно больших r ясно, что в астрофизике свойства пространства будут определяться наличием других объектов или процессов. Выводы качественно не зависят от конкретных значений α . Поэтому положим

$$\alpha = \alpha_0 = 10^{-1}. \tag{15}$$

Сравним теперь воронки в балке для ЧД и КН_{Тн}. Для этого положим для $\alpha = \alpha_0$ значения $z_S = z_{Тн}$ и продолжим кривые для меньших r вплоть до $r = r_g = q$. Положим соответствующие значения $z_S, z_S = 0$. Графики изображены на рис. 2.

Сравнение (10) и (11) при $r_g = q$ показывает, что искажение евклидовости геометрии при продвижении от больших r к входам происходит более плавно для КН, чем для ЧД, а рис. 2 показывает, что воронка ЧД является более “глубокой”, чем в случае КН.

Чтобы исключить недоразумения, напомним, что формально поверхность барна в случае ЧД обрывается при $r = r_g$, в то время как в случае КН после достижения $r = q$ поверхность продолжается к другому выходу из КН (см. рис. 1).

Обратимся теперь к случаю КН с массой $m \neq 0$. Такая модель была рассмотрена Эллисом [11] (см. также [14]). Пространственная метрика кротовой норы с массой m^* :

$$dl^2 = e^{E(\rho)} d\rho^2 + e^{E(\rho)}(\rho^2 + n^2 - m^2)(d\vartheta^2 + \sin^2 \vartheta d\varphi^2), \tag{16}$$

где

$$E(\rho) = \frac{2m}{\sqrt{n^2 - m^2}} \left(\frac{\pi}{2} - \arctan \frac{\rho}{\sqrt{n^2 - m^2}} \right). \tag{17}$$

Здесь n и m – положительные константы. Величина n характеризует напряженность скалярного поля, а m есть эффективная масса m^* , когда $\rho \rightarrow \infty, m \equiv m^*$. В разобранный выше примере (3) $m^* = 0, q = n$.

Та же метрика в экваториальной “плоскости” $\theta = \pi/2$:

$$dl^2 = e^{E(\rho)} d\rho^2 + e^{E(\rho)}(\rho^2 + n^2 - m^2) d\varphi^2. \tag{18}$$

Если ввести обозначение:

$$r^2 = (\rho^2 + n^2 - m^2) e^{E(\rho)}, \tag{19}$$

то функция $r(\rho)$ описывает форму туннеля КН_{Ел} в координатах ρ . Координата ρ часто используется

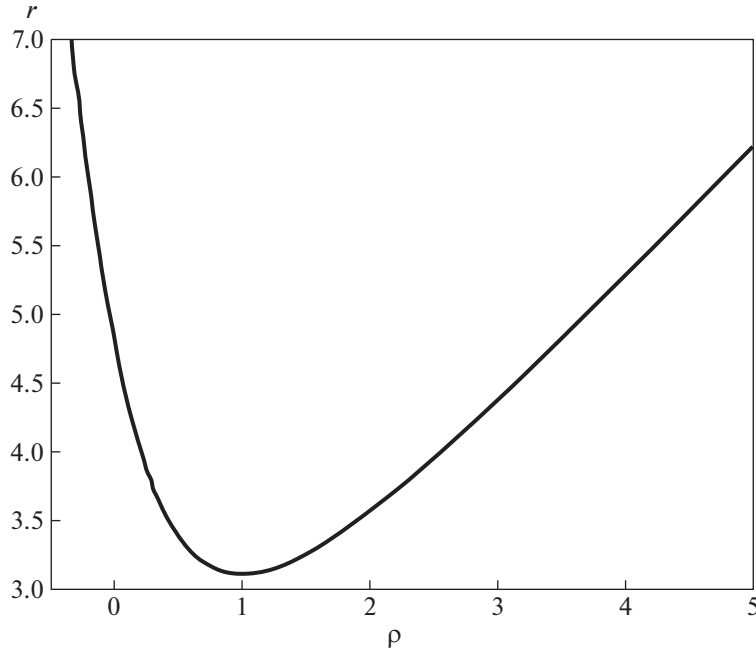


Рис. 3. Зависимость $r(\rho)$ для кротовой норы с ненулевой массой.

в теоретических работах, но она не имеет прямого физического смысла. Величина r как функция физической радиальной координаты рассмотрена в разделе 3. В качестве примера функция $r(\rho)$ при параметрах $m = 1$, $n = \sqrt{2}$ показана на рис. 3. Она изображает форму туннеля $\text{КН}_{\text{Е1}}$. Входы $\text{КН}_{\text{Е1}}$ расположены при $\rho \rightarrow \pm\infty$. В отличие от случая $m = 0$ здесь нет симметрии между правым и левым. Выход $\rho \rightarrow \infty$ соответствует $m^* > 0$, а выход $\rho \rightarrow -\infty$ соответствует $m^* < 0$. В этой работе мы будем рассматривать только правую ветвь, $m^* > 0$.

Метрику в экваториальной плоскости $\text{КН}_{\text{Е1}}$ можно записать в виде:

$$dl^2 = \frac{\rho^2 + n^2 - m^2}{(\rho - m)^2} dr^2 + r^2 d\varphi^2. \quad (20)$$

Функция $r(\rho)$ имеет минимум при $\rho = m$. Величина $r(m)$, т.е. размер горловины, изменяется от $r(m) = n$ до $r(m) = en$, когда m пробегает значения от 0 до n . По порядку величины размер горловины всегда равен n . Подчеркнем, что размер горловины определяется в основном n , мало зависит от m и всегда $r(m) > 2m^* \equiv r_g$.

Представим теперь вид $\text{КН}_{\text{Е1}}$ в балке, как мы делали это выше для $\text{КН}_{\text{Тн}}$. Поступая аналогично, получаем для $z_{\text{Е1}}(r)$ функцию, найденную численно при $m = 1$, $n = \sqrt{2}$ и представленную на рис. 4.

Форма качественно похожа на рис. 1, только горловина смещена вправо и вверх. На рис. 4 горловине соответствует точка поворота кривой. Ветвь, идущая вниз направо, уходит ко второму выходу. Попытки продолжить решение для $z_{\text{Е1}}(r)$ приводят к мнимым значениям для интеграла $z(\rho)$ для $\rho < 0$ и $z < 0$. Формально это означает невозможность поместить фигуру вращения в плоский трехмерный балк (r, z, φ) . Удивляться этому не приходится, ибо, как мы знаем, эта вторая ветвь ведет к выходу с отрицательной массой $m^* < 0$. Это означает, что вдали от выхода метрика должна соответствовать решению Шварцшильда с отрицательной массой. Но из формулы (1) видно, что для z_S при $r_g < 0$ и $r > 0$ получаются мнимые значения, т.е. такая брана не может быть вложена в трехмерный плоский балк.

Возвращаясь к правому входу с $m^* > 0$, сравним его со входом в ЧД. Будем считать, что r_g равно размеру горловины $r(m)$. Выше мы видели, что $r(m) > 2m^*$. Асимптотика отклонений от эвклидовой геометрии здесь определяется для обоих случаев $\text{КН}_{\text{Е1}}$ и ЧД величиной массы. Поэтому

$$r_g = r(m) > 2m^*. \quad (21)$$

Значит, в случае $\text{КН}_{\text{Е1}}$, как и в случае с $\text{КН}_{\text{Тн}}$, при переходе от больших r к входам искажение эвклидовости нарастает медленнее у $\text{КН}_{\text{Е1}}$, чем у ЧД.

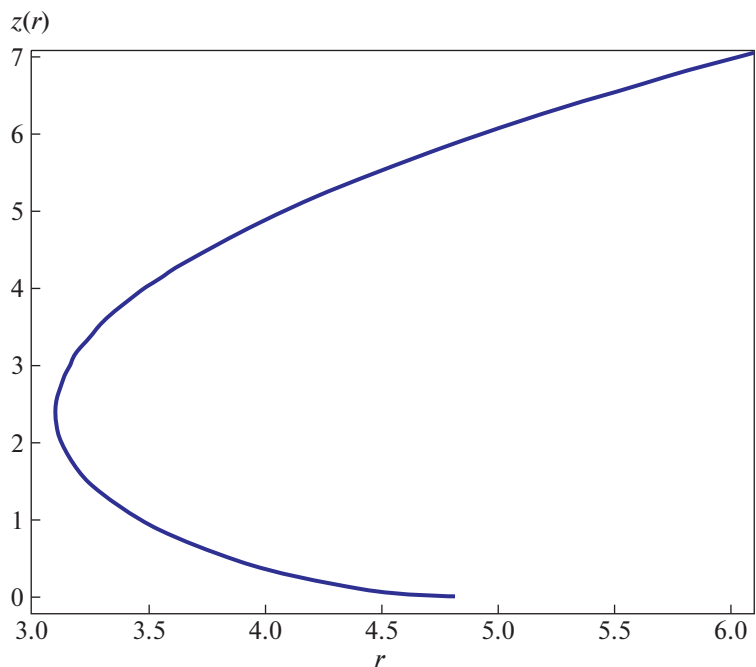


Рис. 4. Зависимость $z(r)$ для кротовой норы с отличной от нуля массой.

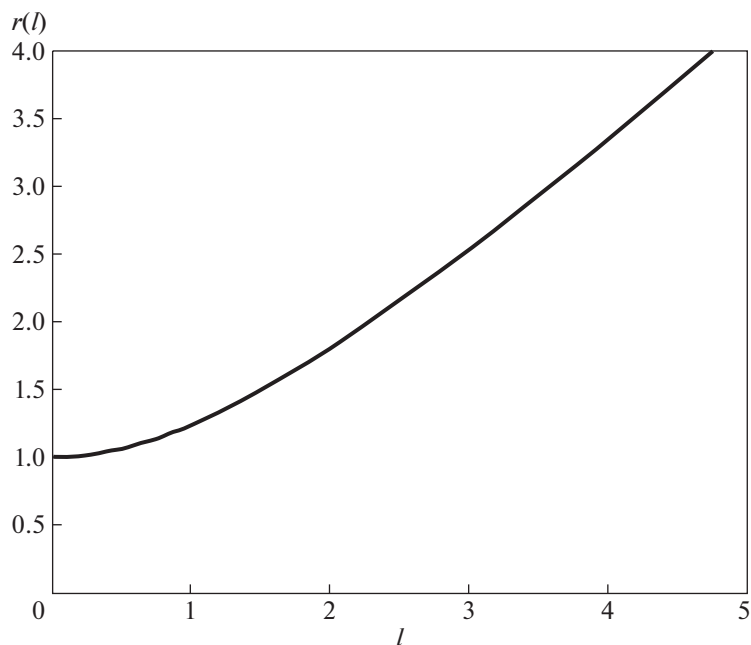


Рис. 5. Зависимость $r(l)$ для метрики Шварцшильда. Расстояние l отсчитывается от гравитационного радиуса.

3. РЕЛЯТИВИСТСКИЕ ОБЪЕКТЫ В БРАНЕ

Обратимся теперь к свойствам пространства отверстий, оставаясь в трехмерной бране (в нашем случае в двумерном экваториальном сечении браны). Определим физическое радиальное расстояние от гравитационного радиуса r_g до точки с координатой r (в единицах r_g):

$$l_s = \int_1^r \sqrt{g_{11s}} dr = \sqrt{r(r-1)} + \frac{1}{2} \ln(2r + 2\sqrt{r(r-1)} - 1). \tag{22}$$

Нас интересует зависимость $r_s(l_s)$. Эта обратная функция неявно определяется формулой (22). Соответствующий график дан на рис. 5.

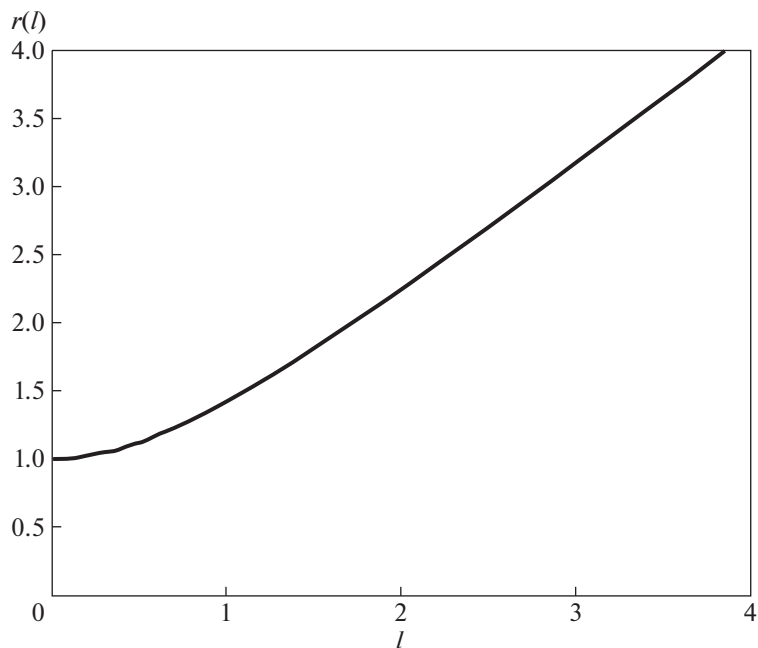


Рис. 6. Зависимость $r(l)$ для метрики Морриса–Торна. Расстояние l отсчитывается от горловины, где $r = q$.

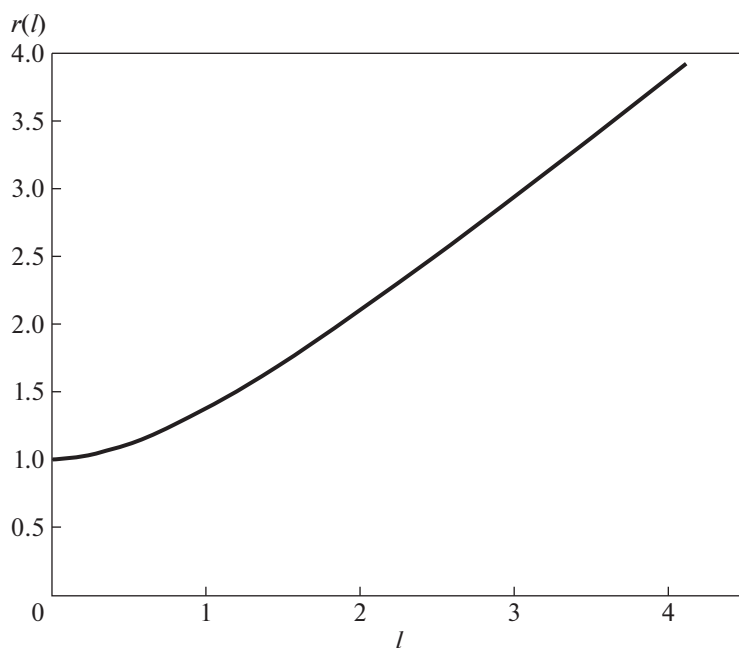


Рис. 7. Зависимость $r(l)$ для метрики Эллиса. Расстояние l отсчитывается от горловины, где $r = r_{\min}$.

Аналогичное выражение для метрики Морриса–Торна для физического расстояния от горловины $r = q$ (в единицах q):

$$l_{\text{Th}} = \sqrt{r^2 - q^2}. \quad (23)$$

График обратной функции $r = r(l_{\text{Th}}) = \sqrt{l^2 + q^2}$ дан на рис. 6.

Наконец, обратимся к метрике Эллиса (16), (17). Для выхода из КН с $m > 0$ расстояние от гор-

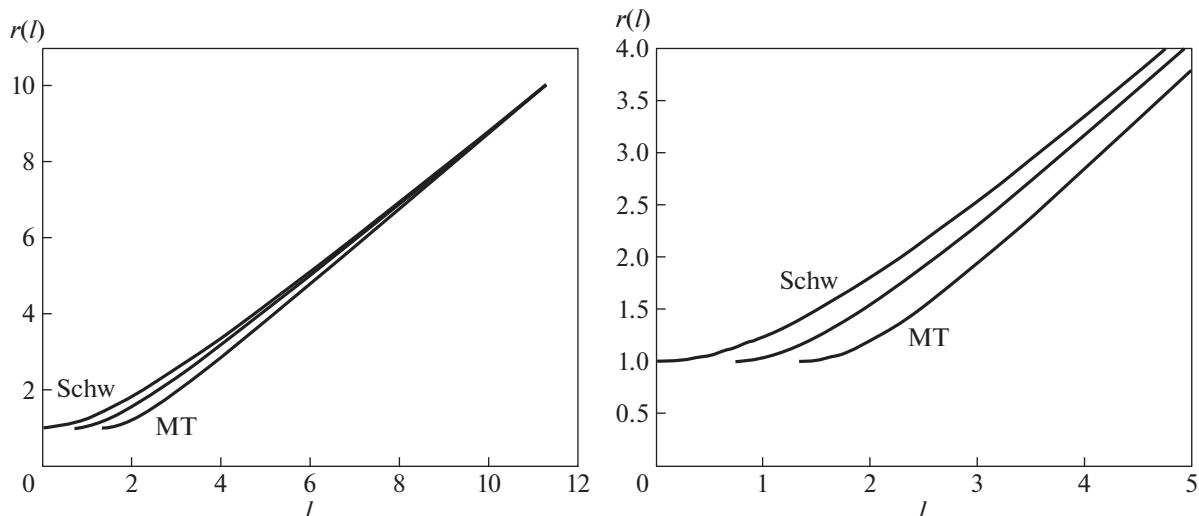


Рис. 8. Зависимость $r(l)$ для всех рассмотренных метрик. Для сравнения значения $l(r)$ приняты одинаковыми при $r = 10$.

ловины r_{\min} до точки с координатой r записывается в виде:

$$l_{\text{El}} = \int_{r_{\min}}^r \sqrt{\frac{\rho^2 + n^2 - m^2}{(\rho - m)^2}} dr. \quad (24)$$

Величина r является неявной функцией ρ , r_{\min} соответствует $\rho = m$. Для нашего примера $n = \sqrt{2}$, $m = 1$. При этом $r_{\min} = 3.10176639383$. Мы будем все расстояния выражать в единицах r_{\min} . Величина $r(l)$ изображена на рис. 7.

На рис. 8 показаны $l(r)$ для всех трех случаев. При этом значения r при $l = 10$ положены равными. Рисунок показывает, что при продвижении от $r = 10$ к входам искажение евклидовости быстрее всего происходит для метрики Шварцшильда и медленнее всего для метрики Морриса–Торна.

4. ЗАКЛЮЧЕНИЕ

Отметим прежде всего, что обычный способ описывать и изображать входы в ЧД и КН как практически очень похожие не вполне корректен. Оба метода визуализации входов и в балке, и в бране показывают существенную разницу между метриками. Наиболее крупная воронка у метрики Шварцшильда. Указанную разницу следует учитывать при описании процессов у входов в ЧД и КН.

ФИНАНСИРОВАНИЕ

Работа выполнена при частичной поддержке программы РАН КП19-270 “Вопросы происхождения и эволюции Вселенной с применением методов наземных наблюдений и космических исследований”.

БЛАГОДАРНОСТИ

С.Р. выражает свою благодарность Р.Е. Бересневой, О.Н. Суменковой и О.А. Косаревой за возможность плодотворно работать над настоящей задачей.

СПИСОК ЛИТЕРАТУРЫ

1. Я. Б. Зельдович, И. Д. Новиков, *Релятивистская астрофизика* (М.: Наука, 1967).
2. V. Frolov and I. Novikov, *Black Hole Physics. Basic Concepts and New Developments* (Kluwer Academic Publishers, 1998).
3. И. Д. Новиков, Н. С. Кардашев, А. А. Шацкий, *Успехи физ. наук* **177**, 1017 (2007).
4. S. V. Repin, D. A. Kompaneets, I. D. Novikov, and V. A. Mityagina, arXiv:1802.04667 [gr-qc] (2018).
5. C. W. Misner, K. S. Thorne, and J. A. Wheeler, *Gravitation* (San Francisco: Freeman and Company, 1973).
6. К. Торн, *Интерстеллар, наука за кадром* (М.: ИД Манн, Иванов и Фербер, 2015).
7. R. Shaikh and S. Kar, *Phys. Rev. D* **96**, id. 044037 (2017), arXiv:1705.11008 [gr-qc].
8. N. Tsukamoto, *Phys. Rev. D* **101**, id. 104021 (2020), arXiv:2004.00822v2 [gr-qc].
9. Л. Д. Ландау, Е. М. Лифшиц, *Теория поля* (М.: Физматлит, 2012).
10. M. S. Morris and K. S. Thorne, *American J. Physics* **56**, 395 (1988).
11. H. Ellis, *J. Math. Phys.* **14**, 104 (1973).
12. K. A. Bronnikov, G. Clément, C. P. Constantinidis, and J. C. Fabris, *Phys. Letters A* **243** (3), 121 (1998).
13. K. A. Bronnikov, *Acta Phys. Pol.* **84**, 251 (1973).
14. A. G. Doroshkevich, N. S. Kardashev, D. I. Novikov, and I. D. Novikov, *Astron. Rep.* **52**, 616 (2008).